

## شبیه سازی الگوی پخش آب در زیر آپاش ضربه‌ای مدل NELSON-F80AP با استفاده از تابع توزیع بتا

\* مجید رئوف<sup>۱</sup>

استادیار گروه مهندسی آب دانشگاه محقق اردبیلی؛

majidraoof2000@yahoo.co.uk

چکیده

برای طراحی مناسب سیستم‌های آبیاری بارانی لازم است آرایش آپاش‌ها در هر سیستم طوری باشد که بیشترین یکنواختی حاصل گردد. جهت اینکار لازم است الگوی پخش آب زیر آپاش منفرد در شرایط مختلف استخراج و سپس با در نظر گرفتن اثرات عوامل محیطی و همپوشانی آپاش‌ها به کل سیستم تعیین داده شود. در این تحقیق با استفاده از تابع توزیع احتمالاتی بتا نحوه تاثیر سرعت‌های مختلف باد روی الگوی توزیع آب بررسی شد. آپاش مورد آزمایش آپاش ضربه‌ای مدل NELSON-F80AP با قطر نازل ۵/۸ اینچ، متوسط فشار کارکرد PSI ۴۰، شاعع پرتاپ ۲۲/۸۶ متر (۷۵ ft)، دبی متوسط ۴/۴ لیتر بر ثانیه و زاویه چرخش ۳۶۰ درجه می‌باشد. آپاش مورد نظر ابتدا در شرایط کنترل شده (بدون باد) و در سه تکرار و سپس در شرایط سرعت‌های باد مختلف مورد آزمایش قرار گرفت. محدوده سرعت باد در آزمایش‌های مورد نظر ۰ تا ۷/۰۵ متر بر ثانیه می‌باشد. ابتدا ضرایب تابع توزیع بتا در شرایط بدون باد استخراج گردید سپس نحوه تغییر ضرایب تابع توزیع بتا در شدت‌های متفاوت باد مورد بررسی قرار گرفت. در نهایت روابط احتمالاتی مناسب هر حالت تعیین و در نتیجه الگوی پخش آب تخمین زده شد. در سرعت باد ۰ تا ۳ متر بر ثانیه الگوی توزیع نسبتاً یکنواختی حاصل گردید و در این حالت مقادیر حاصله از مدل احتمالاتی بتا تطابق خوبی را با مقادیر اندازه گیری شده نشان داد. در این حالت حداقل خطای نسبی حاصله برابر ۳/۵۳٪ بود. با افزایش سرعت باد به محدوده ۳ تا ۶ متر بر ثانیه یکنواختی الگوی توزیع کاهش و خطای نسبی افزایش یافت که حداقل مقدار آن ۶۵/۴٪ بود. در سرعت باد بیشتر از ۶ متر بر ثانیه مقدار تلفات تبخیر و بادبردگی افزایش یافته و به دلیل تاثیر شدید باد روی الگوی توزیع آب بیشترین خطای نسبی بین ارقام حاصل از مدل احتمالاتی و ارقام مشاهداتی حاصل گردید که حداقل مقدار آن ۴۸/۸٪ بود.

**واژه‌های کلیدی:** آپاش ضربه‌ای، الگوی توزیع، تابع احتمالاتی بتا، فشار کارکرد، شاعع پخش

الگوی توزیع هر آپاش و منظور نمودن تداخل و ترکیب الگوهای توزیع آپاش‌های منفرد الگوی توزیع کل سیستم حاصل می‌شود. الگوی توزیع کل کیفیت آبیاری یا عملکرد سیستم را نشان می‌دهد. عوامل مهم

مقدمه

هدف اصلی از طراحی سیستم‌های آبیاری بارانی پخش عمق آب مورد نیاز به صورت یکنواخت و با شدت مورد نظر در سطح مزرعه می‌باشد. با شناخت

۱. آدرس نویسنده مسؤول: اردبیل، دانشگاه محقق اردبیلی، دانشکده کشاورزی، گروه مهندسی آب  
\* دریافت: مهر، ۱۳۹۰ و پذیرش: اردیبهشت، ۱۳۹۱

و عنوان نمونه در سرعت باد زیاد (بالاتر از ۶ متر بر ثانیه) مدل سازی در خلاف جهت باد غیر ممکن شد. در سرعت های باد کم خطای نسبی شبیه سازی الگوی پخش آب در تمام حالات کمتر از ۴٪، در سرعت های باد متوسط کمتر از ۷٪ و در سرعت های باد زیاد کمتر از ۱۰٪ می باشد.

هرمان و همکاران (۱۹۹۲) برای سیستم دور مركزی و سولومان و الیوت (۱۹۸۰) از توابع توزیع احتمالاتی برای پیش بینی الگوی توزیع آب آپاش منفرد استفاده نموند و دقت و قابلیت این توابع را مورد تائید قرار دادند.

هان (۱۹۹۴) یک مدل شبیه سازی را برای توزیع آب در اطراف آپاش توسعه داد. وی الگوهای های توزیع آب را در چهار جهت باد (۰، ۹۰، ۱۸۰ و ۲۷۰ درجه نسبت به شمال) تحت یک آپاش خاص و در شرایط متفاوت سرعت باد به دست آورد. تعداد ۱۷۰ آزمایش مختلف در ۱۰ گروه طبقه بندی شد و میانگین هر گروه محاسبه گردید. درستی مدل و تطابق اعداد به دست آمده از مدل با اعداد اندازه گیری شده در مزرعه مورد آزمون قرار گرفت. این آزمایش، مکمل تحقیقات ریچارد و ودرهد (۱۹۹۳) می باشد. در این تحقیق تابع توزیع بتا روی پروفیل پخش آپاش برآذش داده شد که نتایج حاصل، رضایت پخش بود.

مول و لیگیت (۲۰۰۰a) با استفاده از تابع توزیع بتا مدل الگوی توزیع زیر یک آپاش منفرد را شبیه سازی نمودند. آنها رابطه ای با ترکیب سه تابع توزیع بتا برای یک آپاش منفرد ارائه دادند، این سه تابع توزیع جرم آب به ترتیب مربوط به قطرات ریز، متوسط و درشت بودند. از ترکیب سه منحنی بتا نیمرخ پخش آب آپاش شبیه سازی گردید. عمق های به دست آمده از مدل تطابق زیادی با داده های اندازه گیری شده صحرایی نشان داد. مول و لیگیت با استفاده از نرم افزار آماری SAS/STAT و

در الگوی توزیع حاصل از هر آپاش عبارتنداز:

- ۱- چگونگی ساخت و کارکرد مکانیکی آپاش که بستگی به طراحی و دقت ساخت کارخانه سازنده دارد.
- ۲- فشار کارکرد سیستم و سرعت و جهت وزش باد که مهمترین عامل محیطی تاثیر گذار در الگوی توزیع آب است.

برای طراحی صحیح و پیش بینی الگوی توزیع منفرد هر آپاش و نیز الگوی توزیع سراسری لازم است که نحوه تغییرات الگوی توزیع در اثر باد پیش بینی گردد. با توجه به اینکه اندازه گیری الگوی توزیع آب تحت شرایط انواع سرعت های مختلف باد توسط آزمایش های میدانی به دلیل تعدد حالت های ممکن عمل امکان پذیر نیست، لذا استفاده از مدل های ریاضی یا آماری برای پیش بینی الگوی توزیع در شرایط متفاوت با در توجیه پذیر است.

رئوف و همکاران (۱۳۸۷) طی پژوهشی الگوی پخش آب زیر آپاش مه پاش ستر پیوت با زاویه بازشده ۱۸۰ درجه را بررسی نمودند. آنها تعداد ۱۷ آزمایش پخش آب را در مزرعه تحقیقاتی کرج دانشگاه تبریز و در سرعت های باد مختلف صورت داده و در نهایت با تنها یک تابع توزیع بتای ساده (به دلیل کم ریز بودن قطرات تولیدی از آپاش) الگوی پخش آب زیر آپاش را در سه جهت عمود بر جهت بتا، مخالف جهت باد و جهت باد مدل سازی نمودند.

رئوف و همکاران نتیجه گیری نمودند که در جهت باد امکان شبیه سازی وجود داشته و مقدار خطای بین مقادیر عمق آب شبیه سازی شده و اندازه گیری شده کم است، در جهت عمود بر باد نیز مدل تابع بتا قادر به شبیه سازی الگوی پخش آب می باشد اما خطای موجود بیشتر از حالت قبل است، در خلاف جهت باد مدل دارای ضعف بوده و خطای بین داده های شبیه سازی شده و اندازه گیری شده بسیار زیاد می باشد. در هر سه حالت ذکر شده با افزایش سرعت باد از کارایی مدل کاسته شده

که در آن  $(r) g$  نسبت حجم آب ریخته شده در حلقه ای به شعاع  $r$  و عرض  $dr$  به کل آب پخش شده روی زمین در هر آزمایش و  $\theta$  زاویه چرخش آپاچ مورد نظر است (شکل ۱).  $(r) g$  می تواند با استفاده از ترکیبی از  $n$ تابع توزیع بتا شبیه سازی گردد. در عمل مقدار  $n$  برابر ۱، ۲ یا ۳ در نظر گرفته می شود. تابع توزیع احتمالاتی بتا عبارتست از

$$\beta(x, a, b) = \beta\left(\frac{r}{p}, a, b\right) \quad (2)$$

که در آن  $r$  فاصله نقطه مورد نظر از آپاچ،  $p$  حداکثر شعاع پخش آب توسط آپاچ در یک آزمایش و در یک امتداد معین و  $a$  و  $b$  پارامتر های تابع توزیع بتا هستند (۳ و ۸).

جهت شبیه سازی حجم نسبی آب پخش شده در حلقه ای به شعاع  $r$  و عرض  $dr$  می توان نوشت

$$g(r) = \sum_{k=1}^n \tau_k \beta\left(\frac{r}{p}, a_k, b_k\right) \quad (3)$$

که در آن

$$\beta(x, a, b) = \frac{\Gamma(a+b)}{\Gamma(a)\Gamma(b)} x^{a-1} (1-x)^{b-1} L_{[0,1]}(x) \quad (4)$$

$$\sum_{k=1}^n \tau_k = 1 \quad \text{و} \quad \tau_k \in [0,1]$$

در این روابط  $\tau_k$  ( $k = 1, 2, 3$ ) ضرایب وزنی مربوط به جامعه قطرات تولید شده ریز، متوسط و درشت و  $L_{[0,1]}$  تابع پله ای بوده و نشان می دهد که اگر  $r \leq p$  باشد  $L = 1$  و اگر  $r > p$  باشد  $L = 0$  خواهد بود. همچنین  $X$  فاصله نسبی از آپاچ (فاصله قوطی از آپاچ نسبت به حداکثر شعاع پخش آپاچ) و  $\Gamma$  تابع توزیع گاما می باشد.

در معادله  $g(r)$  هر کدام از  $k$  ها مربوط به یک جامعه قطرات (ریز، متوسط و درشت) می باشد. اگر جامعه قطرات تولیدی از آپاچ از هر سه نوع باشد  $k = 3$  است بنابراین مدل سازی می تواند با ترکیبی از سه تابع توزیع بتا انجام گردد و به همین ترتیب اگر جامعه قطرات تولیدی از ۲ یا ۱ نوع باشد  $k$  برابر ۲ یا ۱ خواهد بود و

روش حداقل سازی غیر خطی خطای تجزیه و تحلیل خود را بر مبنای تکرار انجام داده و مدل مورد نظر خود را در هر سری آزمایش با به دست آوردن  $a, b, P_p, P_u, P_0$  و  $P_d$  که به ترتیب  $a$  و  $b$  پارامترهای تابع توزیع بتا،  $P_0$  حداکثر شعاع پخش آب در شرایط کنترل شده،  $P_u$  حداکثر شعاع پخش آب در شرایط وجود باد و خلاف جهت آن،  $P_p$  حداکثر شعاع پخش آب در شرایط وجود باد و عدمود بر جهت باد و بالاخره  $P_d$  حداکثر شعاع پخش آب در شرایط کنترل نشده و در جهت باد می باشند، مشخص نمودند. از بین حالت های مختلف، حالتی که جواب مدل با آزمایشات میدانی کمترین اختلاف را داشت به عنوان گزینه مطلوب انتخاب گردید.

در حال حاضر در بسیاری از سیستم های آبیاری بارانی مرسوم در دشت رزن استان همدان از قبیل سیستم های ویلمو و کلاسیک ثابت از آپاچ های ضربه ای ساخت کارخانه نلسون استفاده می گردد. در این تحقیق با استفاده از تابع توزیع بتا الگوی توزیع آب زیر آپاچ NELSON-F80AP ضرائب تابع توزیع بتا از روش حداقل سازی خطای بین ارقام مشاهداتی و ارقام حاصل از مدل توزیع بتا استفاده شد.

### توزیع احتمالاتی بتا

در آپاچ های ضربه ای با زاویه پخش ۳۶۰ درجه و شرایط بدون باد، بهم خوردگی حجم آب پخش شده که ناشی از وجود نیروی باد می باشد وجود نداشته و در نتیجه توزیع مقادیر آب در تمام جهات پخش یکنواخت و پروفیل پخش آب در تمام جهات های پخش یکسان خواهد بود (۹). در این حالت حجم نسبی آب پخش شده بصورت یکنواخت بوده و بر روی حلقه ای به شعاع  $r$  و عرض  $dr$  عبارتست از:

$$g(r) = \int_0^{2\pi} f(r, \theta) d\theta \quad (1)$$

<sup>۱</sup>. NLIN Procedure

مختصات در نظر گرفته می شود و الگوی توزیع آب می تواند با استفاده از تابع توزیع بتا شبیه سازی گردد (۸). در حالتی که سرعت باد صفر است (شرایط کنترل شده) حلقه های منظم حول آپاش ایجاد می گردد (۵). در شرایط وجود باد برای برازش مدل فرض می گردد که باد باعث انبساط یا انقباض حلقه ها و تغییر مرکز جرم آب پخش شده در ناحیه پخش آب می گردد. نسبت حجم آب دریافتی توسط هر یک از قوطی های جمع آوری کننده آب به حجم کل آب پاشیده شده در هر آزمایش می تواند از رابطه زیر تخمین زده شود (۹):

(6)

$$\hat{F}_{xy} = \frac{\pi \rho^2}{\pi(R+\rho)^2 - \pi(R-\rho)^2} \int_{R+\rho}^{R-\rho} g(r) dr$$

که در آن  $\hat{F}_{xy}$  حجم آب جمع آوری شده در قوطی به مختصات  $(x,y)$  نسبت به مبدأ که مرکز جرم آب پخش شده در نظر گرفته می شود،  $\rho$ : شاعع قوطی های جمع آوری کننده آب،  $R_{xy}$  فاصله نقطه  $(x,y)$  از مرکز جرم آب پخش شده بوده و عبارت است از

$$R_{xy} = \sqrt{x^2 + y^2} \quad (7)$$

و  $(r)g$  تابع توزیع بتا یا ترکیبی از توابع توزیع بتا برای آپاش مورد نظر می باشدند.

### مواد و روش ها

منطقه مورد مطالعه در این تحقیق دشت کرفس از توابع استان همدان با موقعیت طول جغرافیایی  $49^{\circ}, 51^{\circ}, 52'$  و عرض جغرافیایی  $23^{\circ}, 25^{\circ}, 35^{\circ}, 35^{\circ}, 36^{\circ}$  ارتفاع متوسط  $1900$  متر از سطح دریاهای آزاد در شمال شرق شهرستان رزن استان همدان واقع گردیده است. این دشت دارای مساحت کل حدود  $16$  هزار هکتار بوده که از شمال به رشته کوه های آوج - نوبران، از شرق به دشت قلعه، از جنوب به دشت سنگر آباد و از غرب به دشت عین آباد متنه می گردد. کل اراضی منطقه شامل سه قسمت اراضی مسکونی، باغات-جنگلهای و اراضی کشاورزی می باشد. تعداد  $30$  حلقه چاه عمیق که دبی

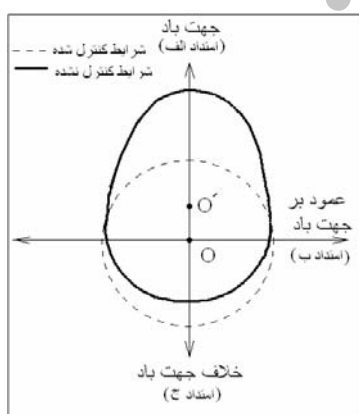
مدل با ترکیبی از  $2$  یا  $1$  تابع توزیع بتا حاصل می شود. برای تعیین درشتی قطرات آب تولید شده توسط آپاش شاخص درشتی قطرات از رابطه متداول زیر محاسبه گردید (۷):

$$CI = k \frac{P^{1.3}}{D} \quad (8)$$

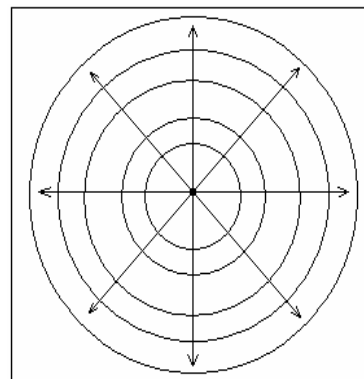
که در آن  $CI$  شاخص درشتی قطرات،  $D$  قطر روزنه آپاش (in)،  $P$  فشار کارکرد آپاش (psi) و  $k$  ضریب تبدیل واحد می باشند. برای یک آپاش چنانچه  $CI \geq 17$  قطرات تولیدی از جامعه ریز، اگر  $CI < 7$  قطرات تولیدی ترکیبی از دو جامعه ریز و متوسط و در صورتیکه  $7 \leq CI \leq 17$  قطرات تولیدی ترکیبی از سه جامعه قطرات ریز، متوسط و درشت خواهد بود (۷). برای آپاش هایی که دور کامل ( $360$  درجه) می زنند آب پخش شده در شرایط بدون باد یک ناحیه دایره ای را ایجاد می کند. جرم پخش شده نیز در این حالت در تمام زوایا یکسان خواهد بود. حال اگر شرایط کنترل نشده باشد (شرایط وجود باد) جرم پخش شده در تمام زوایا یکسان نبوده و ناحیه دایره ای مطابق شکل  $2$  تبدیل به یک ناحیه بیضی شکل می گردد. علت این امر انقباض ناحیه دایره ای در خلاف جهت باد و انبساط آن نهانی ناحیه آب پخش شده تاثیری ندارند. در این آپاشها یک ناحیه دایره ای در شرایط بدون باد، تبدیل به یک ناحیه بیضی شکل در شرایط وجود باد خواهد شد. گستردگی شکل بیضوی در جهت باد مناسب با سرعت باد می باشد. در ناحیه پخش آب توسط آپاش مرکز بیضی شکل است (رئوف و همکاران ۱۳۸۷). این مرکز در صورت وجود باد منطبق بر آپاش نخواهد بود ولی حلقه ها به طور منظم در اطراف مرکز جرم پخش شده قرار خواهند گرفت. در این حالت مرکز بیضی بعنوان مرکز

و عرض بیشتر از ۲۰۰ متر و پوشیده از گیاه زراعی گندم به ارتفاع ۵ تا ۱۰ سانتی متر بود. جهت انجم آزمایشات از یک دستگاه آپیاش ضربه ای مدل ذکر شده در ارتفاع ۱ متری (ارتفاع رایج نصب آپیاش در محل) استفاده گردید. طی ۱۰ آزمایش حداقل شعاع پخش آپیاش در شرایط وجود باد با سرعت های متفاوت حدود ۳۰ متر به دست آمد. آزمایشات بر مبنای فشار متوسط ذکر شده انجام پذیرفت. نحوه انجام آزمایشات به شرح زیر است: پس از آماده کردن وسایل لازم، ابتدا در محوطه فوق الذکر برای هر آزمایش قطعه زمینی مستطیلی شکل به طول و عرض ۶۰ متر انتخاب می‌گردید. قطعه زمین انتخاب شده و به صورت شبکه های ۲ متر در ۲ متر شبکه‌بندی شده و قوطی های جمع‌آوری کننده آب به قطر ۲۰ سانتی‌متر روی گره‌ها قرار داده شدند. چینش قوطی ها بر اساس استاندارد ایزو ۷۷۴۹/۲ صورت گرفت (بی‌نام ۱۹۹۰). آپیاش در طی هر آزمایش چنان قرار داده می‌شد که بعد

متوسط هر یک ۳۰ لیتر بر ثانیه می‌باشد حدود ۳ هزار هکتار از اراضی منطقه را تحت پوشش قرار داده و آبیاری می‌نمایند. با اجرای طرح توسعه سیستم‌های آبیاری بارانی از سال ۱۳۸۲ تا سال ۱۳۸۸ حدود ۲۵۰۰ هکتار از اراضی آبی مجهر به سیستم آبیاری بارانی (شامل کلاسیک ثابت، ویلمو و قرقره‌ای) شده و در حال حاضر نیز تبدیل سیستم‌های سطحی به بارانی در منطقه ادامه دارد. نوع آپیاش مورد استفاده در دو سیستم کلاسیک ثابت و ویلمو آپیاش مدل NELSON-F80AP ساخت کارخانه نلسون می‌باشد. بنابراین آپیاش مورد آزمایش دارای قطر نازل ۵/۸ اینچ، متوسط فشار کارکرد ۴۰ PSI، شعاع پرتاپ ۳۶۰ درجه می‌باشد (شکل ۳). فاصله آپیاش‌ها از هم دیگر در سیستم کلاسیک ثابت و ویلمو برابر ۲۰ متر و فاصله لنزال‌ها نیز در هر دو سیستم برابر ۲۰ متر می‌باشد. محوطه مورد نظر که آزمایشها در آنجا انجام گردیدند دارای طول



شکل ۲- ناحیه پخش آب در شرایط کنترل شده به مرکز ۰ و شرایط کنترل نشده به مرکز ۰ برای آپیاش با چرخش کامل



شکل ۱- نحوه توزیع آب پخش شده در شرایط بدون باد و زاویه پخش ۳۶۰ درجه

MODEL F80AP — FLOWRATE (GPM) & THROW RADIUS (FEET)																	
11/32"		3/8"		7/16"		15/32"		1/2"		17/32"		9/16"		19/32"		5/8"	
BASE PSI	GPM RAD. FT.																
40	21.8 .61	26.0 .62	30.5 .64	34.5 .66	39.9 .68	45.0 .69	50.7 .71	57.0 .72	62.9 .73	69.0 .75	77.4 .76	85.6 .78	94.3 .79	103.3 .81	112.6 .83	122.5 .85	
45	24.2 .64	27.9 .66	31.9 .68	35.4 .70	39.9 .72	44.0 .74	49.3 .75	55.7 .76	61.8 .78	69.0 .79	77.4 .80	85.6 .82	94.3 .83	103.3 .84	112.6 .85	122.5 .86	
50	27.0 .67	31.0 .69	35.0 .71	39.0 .73	43.0 .75	48.3 .77	55.7 .78	62.0 .79	69.7 .81	75.8 .82	83.8 .84	92.8 .86	101.8 .87	110.8 .88	119.8 .89	128.8 .90	
55	29.0 .69	34.8 .72	40.7 .74	46.7 .76	53.2 .78	60.4 .79	67.7 .81	75.8 .82	83.8 .84	92.8 .86	101.8 .87	110.8 .88	119.8 .89	128.8 .90	137.8 .91	146.8 .92	
60	31.0 .72	37.3 .74	43.7 .76	50.0 .78	57.0 .80	64.7 .82	72.5 .84	81.3 .85	89.9 .87	99.2 .89	108.2 .90	117.2 .91	126.2 .92	135.2 .93	144.2 .94	153.2 .95	
65	33.2 .74	39.4 .76	46.2 .78	52.9 .81	60.8 .82	68.5 .84	76.8 .86	86.3 .88	95.3 .90	104.1 .91	113.1 .92	122.1 .93	131.1 .94	140.1 .95	149.1 .96	158.1 .97	
70	35.0 .76	41.5 .78	48.4 .80	55.8 .83	64.0 .85	72.6 .87	81.0 .88	90.9 .90	101.9 .91	110.9 .92	119.9 .93	128.9 .94	137.9 .95	146.9 .96	155.9 .97	164.9 .98	
75	36.8 .78	43.4 .80	50.3 .82	57.8 .85	65.3 .87	74.0 .89	82.3 .91	91.3 .93	100.3 .95	109.3 .96	118.3 .97	127.3 .98	136.3 .99	145.3 .100	154.3 .101	163.3 .102	
80	38.6 .80	45.4 .82	52.8 .84	59.3 .86	66.8 .88	75.2 .90	83.6 .92	92.6 .94	101.6 .96	110.6 .97	119.6 .98	128.6 .99	137.6 .100	146.6 .101	155.6 .102	164.6 .103	
85	40.4 .82	47.4 .84	54.8 .86	61.3 .88	68.8 .90	77.2 .92	85.6 .94	94.6 .96	103.6 .98	112.6 .99	121.6 .100	130.6 .101	139.6 .102	148.6 .103	157.6 .104	166.6 .105	
90	42.2 .84	49.2 .86	56.2 .88	62.7 .90	70.2 .92	78.7 .94	87.1 .96	95.1 .98	104.1 .99	113.1 .100	122.1 .101	131.1 .102	140.1 .103	149.1 .104	158.1 .105	167.1 .106	
95	44.0 .86	51.0 .88	58.0 .90	64.5 .92	72.0 .94	80.5 .96	88.9 .98	97.9 .99	106.9 .100	115.9 .101	124.9 .102	133.9 .103	142.9 .104	151.9 .105	160.9 .106	169.9 .107	
100	45.8 .88	53.7 .90	60.7 .92	67.2 .94	74.7 .96	83.0 .98	91.4 .99	100.4 .100	109.4 .101	118.4 .102	127.4 .103	136.4 .104	145.4 .105	154.4 .106	163.4 .107	172.4 .108	

NOTE: STATED PERFORMANCE @ BASE PRESSURE. Sprinkler performance data has been obtained under ideal test conditions and may be adversely affected by wind, poor hydraulic entrance conditions, or other factors. Nelson Irrigation Corporation makes no representation regarding droplet conditions, uniformity or application rate. The F80A and F80AV are available with secondary nozzle sizes of 7/64" to 5/16". Consult NIC for double nozzle performance information. Sprinkler tested on 12" riser. Please see warranty and disclaimer statement.



شکل ۳ آپاش مورد استفاده در سیستم های کلاسیک ثابت و ویلمو در دشت کرس و مشخصات آن

برخی از آزمایش ها به دلیل تغییرات زیاد جهت باد در طول آزمایش از اطمینان کافی برخوردار نبود و از محاسبات حذف گردید و تنها ۵۰ آزمایش برای تحقیق مورد نظر استفاده گردید. جهت تخمین قطر قطرات و تعیین تعداد جوامع ذرات تولیدی شاخص درشتی قطرات برای آپاش مورد آزمایش عبارتست از:

$$CI = k \frac{P^{1.3}}{D} = \frac{1}{64} \times \frac{40^{1.3}}{(5/8)} = 3.02$$

به دلیل اینکه  $CI < 7$  می باشد ذرات آب تولیدی از آپاش مورد نظر ترکیبی از سه جامعه ریز، متوسط و درشت می باشد (جهت تعیین تعداد جامعه ذرات قطرات تولیدی از آپاش از شاخص درشتی قطرات،  $CI$  استفاده شد). لذا برای آپاش مورد نظر  $n$  برابر ۳ بوده و درنتیجه بایستی ۳ ضریب وزنی  $\tau_1$ ,  $\tau_2$  و  $\tau_3$  به ترتیب برای جوامع قطرات ریز، متوسط و درشت ( $\sum_{k=1}^n \tau_k = 1$ ) در نظر گرفته شود و لذا خواهیم داشت:

$$g(r) = \sum_{k=1}^3 \tau_k \beta \left( \frac{r}{p}, a_k, b_k \right) = \quad (8)$$

$$\tau_1 \frac{\Gamma(a_1+b_1)}{\Gamma(a_1)\Gamma(b_1)} x^{a_1-1} (1-x)^{b_1-1} + \tau_2 \frac{\Gamma(a_2+b_2)}{\Gamma(a_2)\Gamma(b_2)} x^{a_2-1} (1-x)^{b_2-1} +$$

$$\tau_3 \frac{\Gamma(a_3+b_3)}{\Gamma(a_3)\Gamma(b_3)} x^{a_3-1} (1-x)^{b_3-1}$$

در هر آزمایش مقادیر نسبت حجم آب جمع آوری شده در هر قوطی به حجم کل آب پاسیده شده

زمین مورد نظر در خلاف جهت وزش باد برابر شعاع آپاش و در جهت وزش باد بیشتر از شعاع آپاش (با در نظر گرفتن نیروی باد) باشد تا تمام منطقه ای که در آن آب پخش می گردد تحت پوشش قوطی های جمع آوری کننده آب قرار گیرد. پس از راه اندازی پمپ، آپاش مورد نظر شروع به پخش آب کرده و بعد از پخش آب به مدت یک ساعت شیر مربوطه بسته شده و حجم آب جمع آوری شده در هر قوطی اندازه گیری و یادداشت می گردد. جهت اندازه گیری میزان تلفات تبخیر و با بردگی در حین انجام آزمایش های پخش آب مقدار دبی آپاش نیز اندازه گیری می گردد. همچنین از تلفات تبخیر از قوطی در زمان اندازه گیری آب آنها به دلیل ناچیز بودن صرف نظر گردید.

در هر آزمایش علاوه بر مقادیر حجم آب جمع آوری شده در قوطی ها مقادیر سرعت باد و رطوبت نسبی محیط آزمایش به ترتیب با استفاده از یک دستگاه بادسنج و یک دستگاه رطوبت سنج هر ۱۰ دقیقه یکبار اندازه گیری می گردد. در کل ۵۰ آزمایش پخش آب در سرعت های باد مختلف انجام و ثبت گردید که ۲۰ آزمایش در سرعت های باد کم (-۳ متر بر ثانیه)، ۲۰ آزمایش در سرعت های باد متوسط (۳-۶ متر بر ثانیه) و ۱۰ آزمایش در سرعت های باد زیاد (بالاتر از ۶ متر بر ثانیه) انجام شد. به دلیل کم بودن تعداد بادهای با سرعت زیاد تنها ۱۰ آزمایش در این محدوده سرعت باد انجام و ثبت گردید. انجام آزمایش های ذکر شده در تابستان ۱۳۸۸ صورت گرفت.

## نتایج

با دهای غالب منطقه در دشت کرفس (منطقه مورد مطالعه) از شمال غربی می‌وزد. متوسط سرعت باد در آزمایش‌های انجام شده، در محدوده سرعت باد کم  $1/96$  متر بر ثانیه و در محدوده سرعت باد متوسط  $4/36$  متر بر ثانیه و در محدوده سرعت باد زیاد  $6/45$  متر بر ثانیه برآورد گردید. جهت شبیه سازی الگوی پخش آب در زیر آپیاش مورد نظر سه امتداد جهت باد (الف)، عمود بر جهت باد (ب) و خلاف جهت باد (ج) در نظر گرفته شد (شکل ۲). ابتدا مقادیر بهینه  $P$ ،  $a_i$ ،  $b_i$  و  $\tau_i$  ( $i=1,2,3$ ) برای شرایط کنترل شده (بدون باد) استخراج و سپس برای شرایط بادهای مختلف تخمین و نحوه تغییرات ضرایب مذکور با تغییرات سرعت باد تعیین شد. برای امتدادها و سرعت‌های باد مختلف نتایج متفاوتی برای الگوی پخش آب بدست آمد. مقادیر متوسط بهینه شده حداقل شصت شاعر پخش آب در یک آزمایش و در امتدادهای مختلف،  $P$  برای محدوده سرعت‌های باد کم، متوسط و زیاد در جدول شماره ۱ آورده شده است.

متوسط مقادیر بهینه شده  $\tau_1$ ،  $\tau_2$  و  $\tau_3$  برای امتدادهای مختلف الف، ب و ج و سرعت‌های باد مختلف در جدول ۲ نشان داده شده است. همچنین متوسط مقادیر بهینه شده  $a_1$ ،  $a_2$  و  $a_3$  در جدول ۳ و متوسط مقادیر بهینه شده  $b_1$  و  $b_2$  در جدول ۴ آورده شده است. با افزایش سرعت باد:

۱- در امتداد الف مقادیر  $a_1$ ،  $a_2$  و  $a_3$  افزایش، مقادیر  $b_1$  و  $b_2$  و  $b_3$  ثابت، مقادیر  $\tau_1$ ،  $\tau_2$  و  $\tau_3$  افزایش و مقادیر  $\tau_1$  کاهش می‌یابد.

۲- در امتداد ب مقادیر  $a_1$ ،  $a_2$  و  $a_3$  کاهش  $b_1$ ،  $b_2$  و  $b_3$  افزایش، مقادیر  $\tau_1$ ،  $\tau_2$  و  $\tau_3$  افزایش می‌یابد.

۳- در امتداد ب مقادیر  $a_1$ ،  $a_2$  و  $a_3$  کاهش  $b_1$ ،  $b_2$  و  $b_3$  افزایش، مقادیر  $\tau_1$ ،  $\tau_2$  و  $\tau_3$  کاهش و مقادیر  $\tau_3$  افزایش می‌یابد.

( $F_{xy}$ ) با اندازه‌گیری به دست می‌آید. از طرف دیگر می‌توان مقادیر  $\hat{F}_{xy}$  را برای تک قوطی‌ها در هر آزمایش با مدل تابع بتا به ازای یک  $a$  و  $b$  معین محاسبه نمود. جهت تعیین دقت مدل توزیع بتا در تخمین منحنی الگوی پخش آب در زیر آپیاش و در جهات مختلف می‌توان از دو محک آماری زیر استفاده نمود.

۱- خطای نسبی<sup>۱</sup>: در هر آزمایش مقدار خطای نسبی از رابطه زیر قابل محاسبه می‌باشد(۸):

$$RE = \frac{\sqrt{\sum(F_{xy} - \hat{F}_{xy})^2}}{n \bar{F}} \times 100 \quad (9)$$

که در آن  $RE$  خطای نسبی اعداد تخمین زده شده نسبت به اندازه‌گیری شده (%) است.

$n$  تعداد قوطی‌هایی که آب دریافت کرده اند و  $\bar{F}$  متوسط حجم نسبی آب دریافت شده توسط قوطی‌های جمع آوری کننده آب می‌باشد.

۲- ریشه مربع میانگین خطای<sup>۲</sup> که می‌تواند از رابطه زیر تخمین زده شود

$$RMSE = \sqrt{\frac{\sum(F_{xy} - \hat{F}_{xy})^2}{n-1}} \quad (10)$$

برای تعیین مقادیر بهینه  $P$ ،  $a_i$ ،  $b_i$  و  $\tau_i$  ( $i=1,2,3$ ) در هر آزمایش و هر امتداد از روش حداقل سازی خطای بین مقادیر  $F_{xy}$  و  $\hat{F}_{xy}$  استفاده گردید. جهت انجام محاسبات مربوطه از کد نوشته شده در فایل کتابخانه-ای نرم افزار Matlab 6.1 استفاده شد و مشخص شد که در کلیه آزمایش‌ها مقادیر  $a_i$  و  $b_i$  بین ۱ تا ۵ می‌باشند. مقادیر بهینه مقادیری هستند که به ازای آنها خطای نسبی آزمایش مینیمم باشد. بعد از معین شدن مقادیر  $P$ ،  $a_i$  و  $b_i$  و  $\tau_i$  معادله کلی مدل در نهایت به صورت زیر به دست می‌آید.

$$\hat{F}_{xy} = \frac{1}{2} \frac{\pi \rho^2}{\pi(R+\rho)^2 - \pi(R-\rho)^2} \int_{R-\rho}^{R+\rho} \sum_{k=1}^n \tau_k \beta\left(\frac{r}{p}, a_k, b_k\right) dr \quad (11)$$

<sup>1</sup>. Relative Error

<sup>2</sup>. Root Mean Square Error

جدول ۱- مقادیر متوسط بهینه شده  $P$  برای محدوده سرعت بادهای مختلف (متر)

امتداد				محدوده سرعت باد
ج	ب	الف		
۲۲/۸	۲۲/۸	۲۲/۸		بدون باد (کنترل شده)
۲۱/۶	۲۲/۲	۲۴/۷		کم
۱۹/۱	۲۱/۳	۲۶/۷		متوسط
۱۶	۱۹/۹	۲۹/۹		زیاد

جدول ۲ مقادیر  $\tau_1$ ,  $\tau_2$  و  $\tau_3$  برای امتدادها و سرعت های باد مختلف

امتداد ج				امتداد ب				امتداد الف				محدوده سرعت باد
$\tau_3$	$\tau_2$	$\tau_1$	$\tau_3$	$\tau_2$	$\tau_1$	$\tau_3$	$\tau_2$	$\tau_1$	$\tau_3$	$\tau_2$	$\tau_1$	
۰/۵۲	۰/۳۷	۰/۱۱	۰/۵۲	۰/۳۷	۰/۱۱	۰/۵۲	۰/۳۷	۰/۱۱	۰/۳۷	۰/۱۱	۰/۱۱	بدون باد (کنترل شده)
۰/۵۵	۰/۳۶	۰/۰۹	۰/۵۴	۰/۳۶	۰/۱	۰/۴۸	۰/۳۵	۰/۱۷				کم
۰/۶۳	۰/۳۱	۰/۰۵	۰/۵۹	۰/۳۳	۰/۰۸	۰/۴۲	۰/۳۸	۰/۲				متوسط
۰/۷	۰/۲۷	۰/۰۳	۰/۶۳	۰/۳	۰/۰۷	۰/۴۱	۰/۲۲					زیاد

جدول ۳ متوسط مقادیر ضرایب  $a_1$ ,  $a_2$  و  $a_3$  تابع بتا برای محدوده سرعت های باد مختلف

امتداد ج				امتداد ب				امتداد الف				محدوده سرعت باد
$a_3$	$a_2$	$a_1$	$a_3$	$a_2$	$a_1$	$a_3$	$a_2$	$a_1$	$a_3$	$a_2$	$a_1$	
۳/۶	۳/۴	۳/۷	۳/۶	۳/۴	۳/۷	۳/۶	۳/۴	۳/۷	۳/۶	۳/۴	۳/۷	بدون باد (کنترل شده)
۳/۷	۳/۶	۳/۸	۳/۸	۳/۷	۴	۳/۹	۳/۸	۴/۱				کم
۳/۹	۳/۸	۴	۴/۱	۳/۸	۴/۲	۴/۳	۴	۴/۳				متوسط
۳/۹	۳/۹	۴/۱	۴/۲	۴	۴/۴	۴/۳	۴/۲	۴/۴				زیاد

جدول ۴ مقادیر  $b_1$ ,  $b_2$  و  $b_3$  برای امتدادها و سرعت های باد مختلف

امتداد ج				امتداد ب				امتداد الف				محدوده سرعت باد
$b_3$	$b_2$	$b_1$	$b_3$	$b_2$	$b_1$	$b_3$	$b_2$	$b_1$	$b_3$	$b_2$	$b_1$	
۲/۹	۲/۸	۴/۱	۳/۹	۳/۸	۴/۱	۳/۹	۳/۸	۴/۱	۳/۹	۳/۸	۴/۱	بدون باد (کنترل شده)
۴/۲	۴/۲	۴/۳	۴/۱	۴/۱	۴/۲	۳/۹	۳/۷	۴				کم
۴/۴	۴/۵	۴/۵	۴/۳	۴/۳	۴/۴	۳/۸	۳/۸	۴				متوسط
۴/۶	۴/۷	۴/۹	۴/۴	۴/۵	۴/۶	۳/۹	۳/۷	۴/۱				زیاد

بنابراین با افزایش سرعت باد توزیع و پخش جامعه ذرات درشت در جهت باد کاهش و در جهت های عمود بر باد و خلاف جهت باد افزایش می یابد.

نحوه تغییرات مقادیر  $a_1$ ,  $a_2$  و  $a_3$  در سه امتداد الف، ب و ج به ترتیب در اشکال ۸ و ۹ و ۱۰ و نحوه تغییرات مقادیر  $b_1$ ,  $b_2$  و  $b_3$  در سه امتداد الف، ب و ج به ترتیب در اشکال ۱۱، ۱۲ و ۱۳ نشان داده شده است. با توجه به این اشکال و قوانین حاکم بر تابع توزیع بتا می توان نتیجه گیری نمود که با افزایش سرعت باد:

- در امتداد الف با توجه به افزایش مقادیر  $a_1$ ,  $a_2$  و  $a_3$  و ثابت بودن مقادیر  $b_1$ ,  $b_2$  و  $b_3$  نقطه اوج منحنی پخش آب از آپیاش (مرکز جرم) فاصله گرفته و مقدار عمق آب پخش شده در نقطه اوج با سرعت کمی کاهش می یابد. هر چند با افزایش سرعت باد حجم بیشتری از قطرات به این امتداد انتقال یافته، اما از آنجا که سطح پخش به شدت افزایش می یابد در کل عمق آب پخش شده در این امتداد کاهش نسبی می یابد.

- در دو امتداد ب و ج با توجه به افزایش  $a_1$ ,  $a_2$ ,  $a_3$ ,  $b_1$ ,  $b_2$  و  $b_3$  نقطه اوج منحنی به آپیاش (مرکز جرم) نزدیکتر شده و نقطه اوج منحنی کاهش می یابد. شدت افزایش مقادیر  $a_1$ ,  $a_2$  و  $a_3$  در امتداد ب بیشتر از ج و شدت افزایش مقادیر  $b_1$ ,  $b_2$  و  $b_3$  در امتداد ب کمتر از ج می باشد که باعث می شود شدت نزدیک شدن نقطه اوج به آپیاش (با افزایش سرعت باد) در امتداد ب کمتر از ج و شدت کاهش نقطه اوج در امتداد ب کمتر از ج گردد.

همچنین همبستگی بین پارامترهای  $a_1$ ,  $a_2$ ,  $a_3$ ,  $\tau_1$ ,  $\tau_2$  و  $\tau_3$  با سرعت باد در تمام جهات بالا بوده و بیانگر این موضوع است که این پارامترها در هر سه جهت با افزایش سرعت باد دچار تغییرات (افزایشی یا کاهشی) می گردد. همبستگی بین پارامترهای  $b_1$ ,  $b_2$  و  $b_3$  در امتدادهای ب و ج بالا بوده اما در جهت الف بسیار پایین می باشد. بنابراین با افزایش سرعت باد مقادیر

در تابع احتمالاتی بتا تاثیر مقادیر  $a$  و  $b$  روی منحنی فراوانی توزیع از قوانین شناخته شده پیروی می کنند که در اینجا ۲ نمونه مهم از این قوانین ذکر می گردد.

- به ازای  $b$  ثابت با افزایش  $a$  نقطه اوج منحنی از مبدا مختصات (آپیاش یا مرکز جرم) دور می شود و مقدار بیشینه منحنی با سرعت بسیار کم کاهش می یابد.

- هر گاه  $a$  و  $b$  هر دو افزایش یابند نقطه اوج منحنی از مبدا مختصات (آپیاش یا مرکز جرم) دور شده و بیشینه منحنی بسته به افزایش  $a$  و  $b$  کاهش پیدا می کند برای استخراج روابط آماری که ارتباط بین ضرائب  $a$  و  $b$  با سرعت باد را نشان دهد از روش تحلیل رگرسیون استفاده گردید.

شکل ۴ نحوه تغییرات حداقل شعاع پخش آب با تغییرات سرعت باد را برای سه امتداد الف (جهت باد)، ب (عمود بر جهت باد) و ج (خلاف جهت باد) نشان می دهد. چنانچه انتظار می رود با افزایش سرعت باد حداقل شعاع پخش در امتداد الف به شدت افزایش، در امتداد ب کاهش و در امتداد ج به شدت کاهش می یابد. علت این امر اثر نیروی باد می باشد. نحوه تغییرات مقادیر  $\tau_1$ ,  $\tau_2$  و  $\tau_3$  در سه امتداد الف، ب و ج به ترتیب در اشکال ۵، ۶ و ۷ نشان داده شده است. با افزایش سرعت باد:

- ضریب وزنی جامعه ذرات ریز ( $\tau_1$ ) در امتداد الف افزایش اما در امتدادهای ب و ج کاهش می یابد. بنابراین با افزایش سرعت باد توزیع و پخش جامعه ذرات ریز در جهت باد افزایش و در جهت های عمود بر باد و خلاف جهت باد کاهش می یابد.

- ضریب وزنی جامعه ذرات متوسط ( $\tau_2$ ) در امتداد الف افزایش اما در امتدادهای ب و ج کاهش می یابد. بنابراین با افزایش سرعت باد توزیع و پخش جامعه ذرات متوسط نیز در جهت باد افزایش و در جهت های عمود بر باد و خلاف جهت باد کاهش می یابد.

- ضریب وزنی جامعه ذرات درشت ( $\tau_3$ ) در امتداد الف کاهش اما در امتدادهای ب و ج افزایش می یابد.

$\tau_2$  کاهش می یابند. لذا با افزایش سرعت باد نقطه اوج منحنی از آپاش دورتر می گردد. مقدار ماکریم منحنی در محدوده ای کمتر از حالت ب یعنی در فاصله ۳ تا ۱۲ متر از آپاش تغییر می نماید (اشکال ۲۰ تا ۲۲). خطای نسبی برای اشکال ۱۷، ۱۸ و ۱۹ نیز به ترتیب  $3/22$ ،  $4/31$  و  $8/23$  درصد محاسبه گردید.

نه نیمرخ پخش آب ارائه شده در اشکال ۱۴ تا ۲۲ به ترتیب برای باد های با سرعت  $1/25$  (سرعت باد کم)،  $3/65$  (سرعت باد متوسط) و  $6/5$  (سرعت باد زیاد) متر بر ثانیه به دست آمده است. داده های حاصل از اندازه گیری های نظیر این نیمرخ پخش در استخراج ضرائب تابع توزیع بتا بکار نرفته و تنها برای تعیین اعتبار مدل از آن استفاده شده است.

### بحث

تابع توزیع بتا به دلیل انعطاف پذیری زیاد یک مدل توانمند برای شبیه سازی انواع نیمرخ های بارش حاصل از آپاش ها می باشد.

نتایج حاصل از آزمایشات میدانی در این تحقیق بیانگر آن است که تابع توزیع بتای حاصل شده در حد مطلوبی الگوی توزیع آب را در شرایط متفاوت باد و در امتدادهای انتخابی پیش بینی می کند. با توجه به خطاهای به دست آمده، حداقل خطای نسبی در مجموع ۵۰ آزمایش (غیر از آزمایش انجام شده در شرایط کتترل شده)

برابر  $8/48$

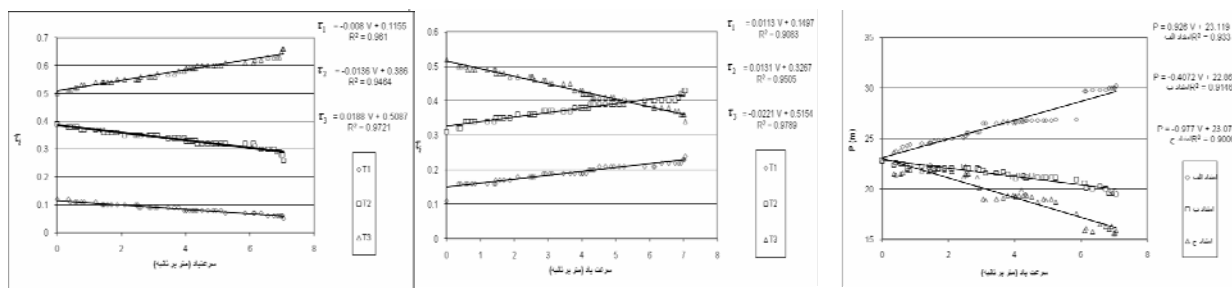
$b_1$ ،  $b_2$  و  $b_3$  در دو جهت ب و ج دچار تغییرات شده اما در امتداد الف مقادیر  $b_1$ ،  $b_2$  و  $b_3$  ثابت می باشند. در جهت الف مقادیر  $b_1$ ،  $b_2$  و  $b_3$  ثابت بوده و به ترتیب  $4/05$ ،  $3/75$  و  $3/875$  به دست آمد.

با توجه به ۳ امتداد انتخابی الف، ب و ج موارد زیر قابل استنتاج است.

الف- در امتداد الف، با افزایش سرعت باد مقادیر  $a_1$ ،  $b_2$  و  $b_3$  تقریباً ثابت مانده، مقادیر  $a_1$ ،  $a_2$ ،  $a_3$  و  $\tau_1$  و  $\tau_2$  افزایش و مقدار  $\tau_3$  کاهش می یابد. بنابراین با افزایش سرعت باد نقطه اوج منحنی از آپاش دور می گردد و دامنه ماکریم منحنی نیمرخ بارش در محدوده ۵ تا  $20/5$  متر از آپاش تغییر می نماید (اشکال ۱۴ تا ۱۶). خطای نسبی برای اشکال  $14$ ،  $15$  و  $16$  به ترتیب  $1/94$ ،  $2/21$  و  $3/27$  درصد محاسبه گردید.

ب- در امتداد ب با افزایش سرعت باد مقادیر  $a_1$ ،  $a_2$ ،  $a_3$ ،  $b_1$ ،  $b_2$  و  $b_3$  و  $\tau_3$  افزایش و مقادیر  $\tau_1$  و  $\tau_2$  کاهش می یابند. لذا با افزایش سرعت باد نقطه اوج منحنی از آپاش دورتر می گردد. مقدار ماکریم منحنی در محدوده ای کمتر از حالت الف یعنی در فاصله ۴ تا ۱۴ متر از آپاش تغییر می نماید (اشکال ۱۷ تا ۱۹). در این حالت منحنی تقارن کمتری نسبت به شکل ۸ دارد. خطای نسبی برای اشکال  $17$ ،  $18$  و  $19$  به ترتیب  $2/3$ ،  $3/91$  و  $5/01$  درصد محاسبه گردید.

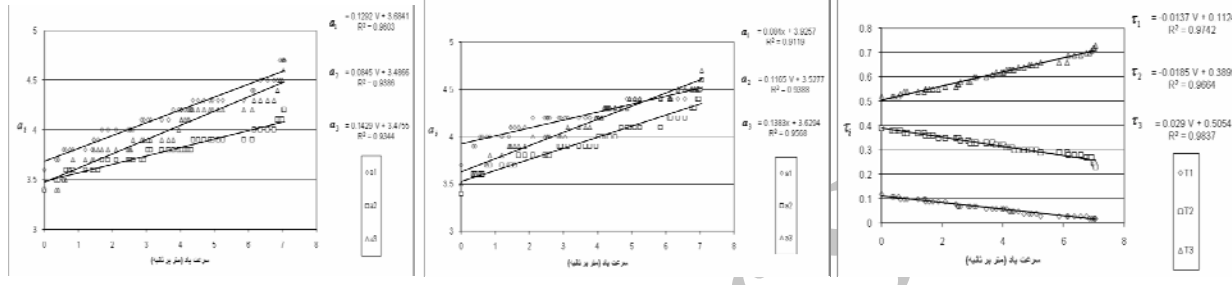
ج- در امتداد ج با افزایش سرعت باد مقادیر  $a_1$ ،  $a_2$ ،  $a_3$ ،  $b_1$ ،  $b_2$  و  $b_3$  افزایش و مقادیر  $\tau_1$  و



شکل ۶ نحوه تغییرات مقادیر  $\tau_1$ ,  $\tau_2$  و  $\tau_3$  در امتداد ب

شکل ۵ نحوه تغییرات مقادیر  $\tau_1$ ,  $\tau_2$  و  $\tau_3$  در امتداد الف

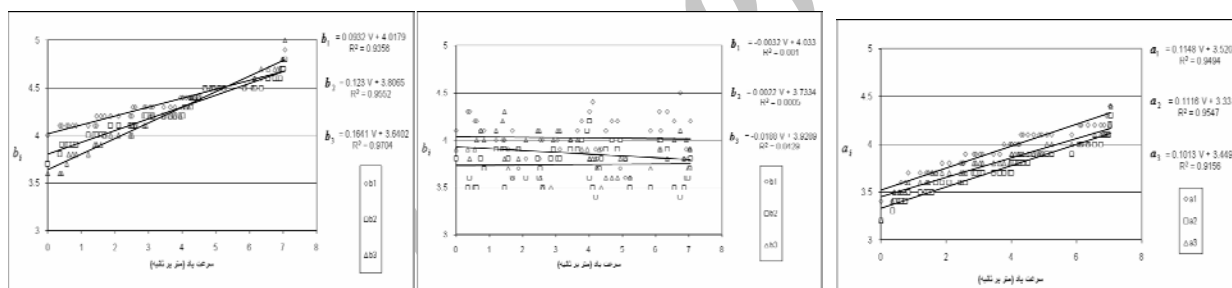
شکل ۴ نحوه تغییرات حداکثر شعاع پخش آب با تغییرات سرعت باد برای سه امتداد الف، ب و ج



شکل ۹ نحوه تغییرات مقادیر  $a_1$ ,  $a_2$ ,  $a_3$  در امتداد ب

شکل ۸ نحوه تغییرات مقادیر  $a_1$ ,  $a_2$ ,  $a_3$  در امتداد الف

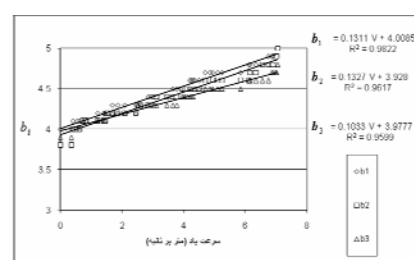
شکل ۷ نحوه تغییرات مقادیر  $\tau_1$ ,  $\tau_2$  و  $\tau_3$  در امتداد ج



شکل ۱۲ نحوه تغییرات مقادیر  $b_1$ ,  $b_2$  و  $b_3$  در امتداد ب

شکل ۱۱ نحوه تغییرات مقادیر  $b_1$ ,  $b_2$  و  $b_3$  در امتداد الف

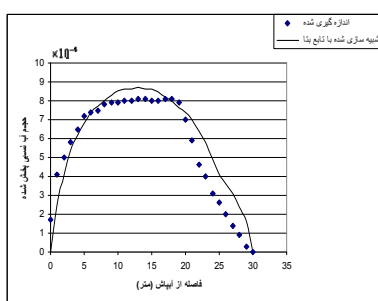
شکل ۱۰ نحوه تغییرات مقادیر  $a_1$ ,  $a_2$  و  $a_3$  در امتداد ج



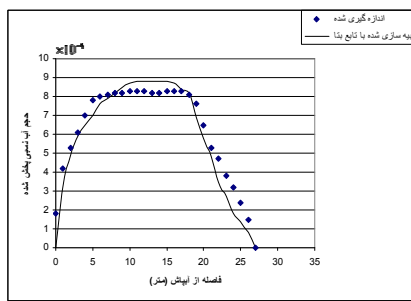
شکل ۱۳ نحوه تغییرات مقادیر  $b_1$ ,  $b_2$  و  $b_3$  در امتداد ج

قابل تطبیق است. آپاش مورد آزمایش دورانی ضربه ای با زاویه چرخش  $360^\circ$  درجه می باشد. برای این نوع آپاش در جهات مختلف نیمرخ های پخش مختلف حاصل می گردد که سه نمونه از آنها امتدادهای جهت باد (الف)، عمود بر جهت باد (ب) و

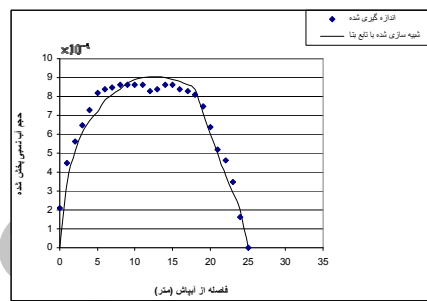
در صد و حداقل آن  $1/38$  درصد است. الگوی توزیع آب حاصل از آپاش مورد آزمایش به شدت تحت تاثیر باد است. در شرایط بدون باد پیش بینی الگوی توزیع با الگوی توزیع بتا به خوبی قابل انجام است. باد به شدت الگوی توزیع را به هم می زند با افزایش زیاد سرعت باد الگوی در هم حاصل شده و به سختی با مدل های توزیع



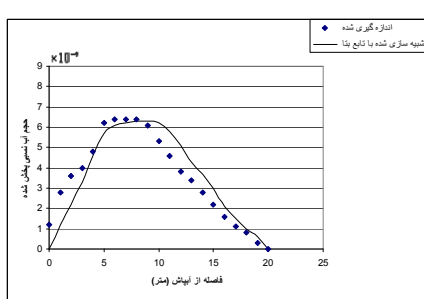
شکل ۱۶ نیمرخ پخش آب در امتداد الف و برای سرعت باد  $6/5$  متر بر ثانیه



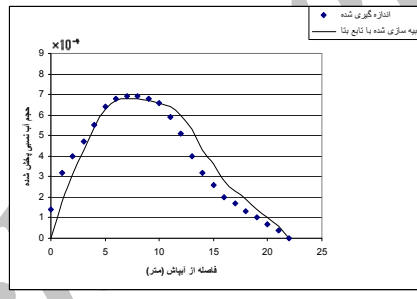
شکل ۱۵ نیمرخ پخش آب در امتداد الف و برای سرعت باد  $3/65$  متر بر ثانیه



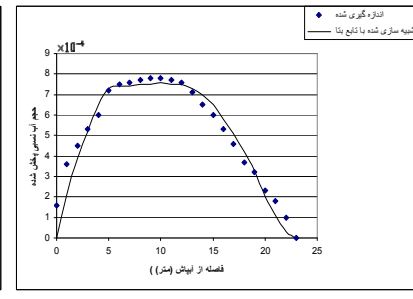
شکل ۱۴ نیمرخ پخش آب در امتداد الف و برای سرعت باد  $1/25$  متر بر ثانیه



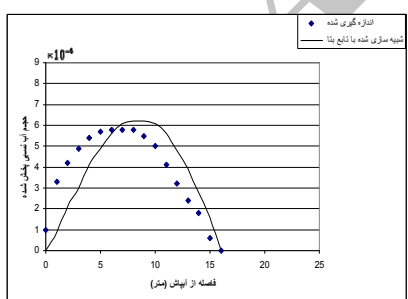
شکل ۱۹ نیمرخ پخش آب در امتداد ب و برای سرعت باد  $6/5$  متر بر ثانیه



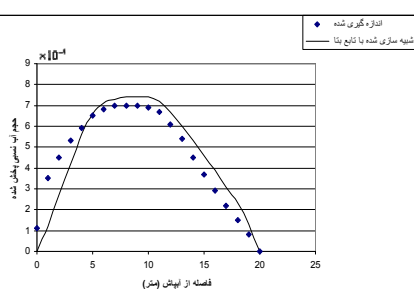
شکل ۱۸ نیمرخ پخش آب در امتداد ب و برای سرعت باد  $3/65$  متر بر ثانیه



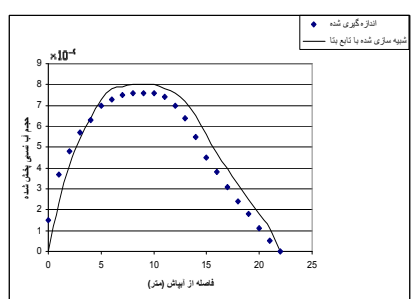
شکل ۱۷ نیمرخ پخش آب در امتداد ب و برای سرعت باد  $1/25$  متر بر ثانیه



شکل ۱۹ نیمرخ پخش آب در امتداد ج و برای سرعت باد  $6/5$  متر بر ثانیه



شکل ۱۸ نیمرخ پخش آب در امتداد ج و برای سرعت باد  $3/65$  متر بر ثانیه



شکل ۱۷ نیمرخ پخش آب در امتداد ج و برای سرعت باد  $1/25$  متر بر ثانیه

### نتیجه گیری کلی

در فرآیند تحلیلی موارد قابل تامیل به شرح زیر استنتاج گردید:

۱- تغییرات مقادیر پارامترهای تابع توزیع بتا ( $a_i$  و  $b_i$ ) در کلیه آزمایش ها به نحوی بودند که  $\frac{a_i}{b_i} < 1.26 < 0.82$  می باشد. یعنی نسبت  $\frac{a_i}{b_i}$  در همه آزمایش ها تقریباً برابر ۱ می باشد.

۲- در غالب آزمایش هایی که سرعت باد بالا بود در جهات ب و ج، نیمروز به دست آمده از آزمایش های صحرایی و مدل دارای نقطه اوچ تیز و در جهت الف دارای نقطه اوچ پهن می باشد.

در تمام اراضی کشاورزی که به صورت آبیاری بارانی آب دریافت می نمایند، باد به عنوان یک عامل محدود کننده آرایش آپاش ها عمل نموده و این پارامتر را تحت تاثیر قرار می دهد. با توجه به بادهای موجود در منطقه مورد مطالعه، برای سرعت های باد مختلف فواصل آپاش ها از همدیگر به صورت زیر پیشنهاد می گردد

۱- در سرعت های باد کم ( $0\text{-}3 \text{ m/s}$ ) و در خلاف جهت باد، با توجه به اینکه عدم یکنواختی پخش آب در اثر نیروی باد باعث گردیده است که یکنواختی پخش کاهش یابد توصیه می گردد در منطقه مورد مطالعه فواصل آپاش های روی لترال ها از  $20$  متر به حدود  $18$  متر کاهش یابد تا همپوشانی لازم بین آپاش های مجاور صورت گیرد.

۲- در سرعت های باد بالا که مدل سازی با خطای بالایی همراه است و یکنواختی پخش نیز به شده کاهش می یابد در حد امکان سیستم خاموش گردد و این زمان به عنوان زمان استراحت سیستم در نظر گرفته شود.

خلاف جهت باد (ج) می باشد. در امتداد الف علت دور شدن بخش ماکریم پاشش از مرکز آپاش، انتقال حجم آب دریافتی نقاط نزدیک به نقاط دورتر در اثر نیروی باد است. از طرف دیگر پاشش جت خروجی در جهت های مختلف دیگر نیز به سمت جهت وزش باد تمایل پیدا می کنند در نتیجه نه تنها ماکریم آب دریافتی به انتهای زمین تمایل پیدا می کند بلکه محدوده ثابت منحنی توزیع در بخش ماکریم پهن تر می گردد. در امتداد ب که عمود بر جهت وزش باد است، ماکریم تقریباً در وسط شعاع پاشش روی می دهد. تلاقی جت های خروجی در جهات مختلف پاشش در این حالت کمتر بوده و در نتیجه محدوده ثابت بخش ماکریم نسبت به حالت الف کاهش پیدا می کند و حجم آب دریافتی در بخش ماکریم کمتر از حالت الف است که علت آن اثر زیادتر نیروی باد نسبت به حالت الف می باشد که جرم آب پخش شده در بخش ماکریم را به شدت کاهش می دهد و در ناحیه محدودتری متمرکز می شود که می تواند علت کوچک تر شدن بخش ماکریم را توجیه نماید. در امتداد ج اثر نیروی باد بیشتر از دو امتداد دیگر الف و ب می باشد. در این جهت محدوده پخش فشرده تر شده و اوچ منحنی پخش آب نیز تیزتر می گردد. در این راستا حجم آب پخش شده با افزایش سرعت باد به شدت کاهش می یابد که علت آن انتقال ذرات جامعه ریز و تا حدودی متوسط در جهت وزش باد می باشد. بر اساس یافته های مول و لیگیت (۸) و (۹) چنانچه مقدار خطای نسبی کمتر از  $10\%$  باشد مدل قابل قبول می باشد. با توجه به اینکه مقادیر خطای نسبی در تمامی آزمایشات و در تمامی جهات کمتر از  $8/48\%$  می باشد می تواند دلیلی بر صحت مدل باشد.

### منابع مورد استفاده

۱. جعفرزاده، ع. ا، کسرایی، ر. و نیشابوری، م. ر. ۱۳۷۴. گزارش نهایی طرح تحقیقاتی مطالعه تفصیلی  $18$  هکتار از اراضی و خاک های ایستگاه تحقیقاتی کرج دانشگاه تبریز. انتشارات اداره کل امور پژوهشی دانشگاه تبریز.

۲. ناصری، ا. ۱۳۷۴. بررسی مدل های ریاضی و تجربی تلفات تبخیر(و بادبردگی) از یک آپاش. پایان نامه کارشناسی ارشد، دانشکده کشاورزی، دانشگاه تبریز.
۳. رئوف، م.، فاخری فرد، ا.، صدرالدینی، ع. ا.، فرسادی زاده، د. و حسین زاده دلیر، ع. ۱۳۸۷. کاربرد تابع توزیع بتا در تخمین مدل الگوی پخش آب زیرآپاش مه پاش دستگاه دوار مرکزی. مجله تحقیقات آب و خاک ایران. دوره ۳۹، شماره ۱، ص ۱۱۵-۱۰۵.
4. Anonymous. 1990. Uniformity of distribution and test methods. Agricultural irrigation equipment- Rotating sprinklers.
  5. Carlson, W. L., and Thorne, B. 1999. Applied statistical methods. Second Edition. Oxford University Press Inc., New York. P: 542
  6. Han, S. 1994. Drop size distribution measurement problems using a laser unit. Trans. AM. Geo. Phys. Un. 24: 452-460.
  7. Herman, D., Duk, H. R., Serafim, A. M., and Dawson, L. J. 1992. Distribution functions to represent center pivot water distribution. Trans. ASAE: 1465-1472.
  8. Karmeli, D. 1978. Estimating sprinkler distribution patterns using linear regression. Trans. ASAE. 21(4): 682-685.
  9. Keller, J., and Blisner, R. D. 1990. Sprinkler and trickle irrigation. Van Nostrand Rainhold Inc. New York. P: 86-122
  10. Molle, B., and Legate, Y. 2000a. Model of water application under pivot sprinkler I: theoretical grounds. J. Irrigation and Drainage Engineering. ASCE. 126(12): 343-347.
  11. Molle, B., and Legate, Y. 2000b. Model of water application under pivot sprinkler II: calibration and results. J. Irrigation and Drainage Engineering, ASCE. 126(12): 348-354.
  12. Richards, S. P., and Weatherhead, E. K. 1993. Prediction of rain gun application patterns in windy conditions. J. Agric. Engrg. Res. 54: 281-291.
  13. Soloman, K., and Elliott, R. 1980. Variability of sprinkler coefficient of uniformity tests results. Trans. ASAE. 22(5): 53-55.